

# Prova scritta del corso di Fisica Nucleare e Subnucleare 1 - AA 2017/2018

3 Luglio 2018

NOME E COGNOME:	CANALE:

1. I mesoni  $K^0$  possono essere foto-prodotti secondo la reazione  $\gamma + p \rightarrow K^0 + \Sigma^+$

- Calcolare l'energia minima ( $E_{min}$ ) che deve avere il fotone nel laboratorio, dove il protone è a riposo, affinché la reazione abbia luogo.
- Se si considera il moto del protone nel nucleo (detto 'moto di Fermi') la reazione ha luogo anche se il fotone incidente ha un'energia inferiore ad  $E_{min}$ . Calcolare l'energia minima ( $E_{min}^{Fermi}$ ) che deve avere il fotone nel laboratorio affinché la reazione abbia luogo, sapendo che l'impulso del protone nel nucleo ha modulo 200 MeV/c.

Si consideri il decadimento della  $\Sigma^+$  in  $p$  e  $\pi^0$ ,  $\Sigma^+ \rightarrow p + \pi^0$ . Se la velocità della  $\Sigma^+$  è 0.8 c determinare nel laboratorio:

- Il massimo impulso  $|\vec{p}^{max}|$  che può avere il  $\pi^0$
- Il massimo valore  $(p_{\pi^0})_{\perp}^{max}$  che può assumere la componente dell'impulso del  $\pi^0$  ortogonale alla linea di volo della  $\Sigma^+$  che decade

Si usi:  $m_p = 938.3 \text{ MeV}/c^2$ ,  $m_{K^0} = 497.7 \text{ MeV}/c^2$ ,  $m_{\Sigma^+} = 1189.4 \text{ MeV}/c^2$ ,  $m_{\pi^0} = 135.0 \text{ MeV}/c^2$

## Soluzione:

Il quadrato della massa invariante nello stato iniziale è

$$s = (E_{\gamma} + E_p)^2 - |\vec{p}_{\gamma} + \vec{p}_p|^2$$

Il quadrato della massa invariante nello stato finale a soglia è

$$s = (m_{K^0} + m_{\Sigma^+})^2$$

- Se il protone è fermo  $\vec{p}_p = 0$  e  $E_p = m_p$ . Si ha

$$(E_{\gamma} + m_p)^2 - |\vec{p}_{\gamma}|^2 = (m_{K^0} + m_{\Sigma^+})^2$$

Essendo  $E_{\gamma} = |\vec{p}_{\gamma}|$ , si ha

$$m_p^2 + 2E_{\gamma}m_p = (m_{K^0} + m_{\Sigma^+})^2$$

da cui

$$E_{\gamma} = \frac{(m_{K^0} + m_{\Sigma^+})^2 - m_p^2}{2m_p} = \frac{(497.7 + 1189.4)^2 - 938.3^2}{2 \times 938.3} \text{ MeV} = 1047.6 \text{ MeV} = E_{min}$$

- b. Nel caso in cui il protone ha  $\vec{p}_p = \vec{p}_{Fermi}$

$$(E_\gamma + E_p)^2 - |\vec{p}_\gamma + \vec{p}_{Fermi}|^2 = (m_{K^0} + m_{\Sigma^+})^2$$

Essendo  $E_\gamma = |\vec{p}_\gamma|$  e  $E_p^2 = |\vec{p}_{Fermi}|^2 + m_p^2$  si ha

$$m_p^2 + 2E_\gamma E_p - 2\vec{p}_\gamma \cdot \vec{p}_{Fermi} = (m_{K^0} + m_{\Sigma^+})^2$$

da cui

$$E_\gamma = \frac{(m_{K^0} + m_{\Sigma^+})^2 - m_p^2 + 2\vec{p}_\gamma \cdot \vec{p}_{Fermi}}{2E_p}$$

Essa è minima quando il prodotto scalare  $\vec{p}_\gamma \cdot \vec{p}_{Fermi}$  è minimo, ossia quando  $\vec{p}_\gamma$  e  $\vec{p}_{Fermi}$  hanno la stessa direzione ma verso opposto, quindi

$$2E_p E_\gamma = (m_{K^0} + m_{\Sigma^+})^2 - m_p^2 - 2E_\gamma p_{Fermi}$$

$$2E_\gamma (E_p + p_{Fermi}) = (m_{K^0} + m_{\Sigma^+})^2 - m_p^2$$

$$E_\gamma = \frac{(m_{K^0} + m_{\Sigma^+})^2 - m_p^2}{2(E_p + p_{Fermi})} = \frac{(497.7 + 1189.4)^2 - 938.3^2}{2(\sqrt{938.3^2 + 200^2} + 200)} \text{ MeV} = 847.8 \text{ MeV} = E_{min}^{Fermi}$$

- c. Essendo un decadimento a due corpi è monoenergetico nel centro di massa e

$$E_{\pi^0}^* = \frac{m_{\Sigma^+}^2 - m_p^2 + m_{\pi^0}^2}{2m_{\Sigma^+}} = 232.3 \text{ MeV}$$

Nel centro di massa, il modulo del tri-impulso del pione (uguale a quello del protone) è

$$p_{\pi^0}^* = \sqrt{(E_{\pi^0}^*)^2 - (m_{\pi^0})^2} = 189.0 \text{ MeV}$$

Per le trasformazioni di Lorentz,  $p_{\pi^0}$  è massimo nel laboratorio se  $\vec{p}_{\pi^0}^*$  è parallelo alla linea di volo della  $\Sigma^+$  che decade. Essendo  $\beta_\Sigma=0.8$  e quindi  $\gamma_\Sigma=1.7$  si ha che

$$p_{\pi^0}^{max} = \gamma_\Sigma(p_{\pi^0}^* + \beta_\Sigma E_{\pi^0}^*) = 624.7 \text{ MeV}$$

- d. Dato che  $(p_{\pi^0})_\perp = (p_{\pi^0}^*)_\perp$ , il massimo momento trasverso del pione nel laboratorio si ha quando nel centro di massa i prodotti di decadimento sono emessi a  $90^\circ$  rispetto alla linea di volo della  $\Sigma^+$  che decade, ed è quindi uguale a  $p_{\pi^0}^* = 189.0 \text{ MeV}$

2. Un fascio di protoni di corrente  $I = 2 \text{ mA}$  incide su un bersaglio di grafite ( $A = 12$ ,  $Z = 6$ ,  $\rho = 2 \text{ g/cm}^3$ ) spesso  $d = 1 \text{ cm}$  producendo pioni e muoni. Un magnete di lunghezza  $L = 1 \text{ m}$  che produce un campo magnetico  $B = 0.1 \text{ T}$  è posto ad una distanza  $R = 1 \text{ m}$  dal bersaglio, ed è preceduto e seguito da due collimatori, come in figura. Il primo collimatore ha un'apertura di diametro di  $D = 2 \text{ cm}$ .

- a. Supponendo che la sezione d'urto differenziale per produzione di pioni dall'interazione protone-nucleone ad un angolo pari a  $\theta$  sia  $d\sigma/d\Omega = 1 \text{ mb/sr}$ , calcolare il numero di pioni che attraversa il primo collimatore per unità di tempo;

Il magnete viene utilizzato per selezionare muoni e pioni di impulso pari a  $500 \text{ MeV}/c$ . Supponendo che tutte le particelle entrino paralleli dal primo collimatore.

- b. Determinare la distanza dell'apertura del secondo collimatore dalla linea di volo delle particelle entranti nel magnete.

- c. Determinare la larghezza dell'apertura secondo collimatore affinché la distribuzione di impulso delle particelle uscenti abbia una larghezza di 20 MeV/c.
- d. due contatori a scintillazione posti ad una distanza di 30 m l'uno dall'altro vengono utilizzati per distinguere pioni e muoni uscenti dal magnete. Quale risoluzione temporale  $\sigma_t$  è necessaria affinché si possano distinguere pioni e muoni con una separazione di almeno  $3\sigma_t$  tra i loro tempi di volo medi? Si trascuri l'incertezza dovuta alla distribuzione di impulso delle particelle uscenti dal collimatore.

$$[m_\pi = 139.6 \text{ MeV}/c^2; m_\mu = 105.7 \text{ MeV}/c^2]$$

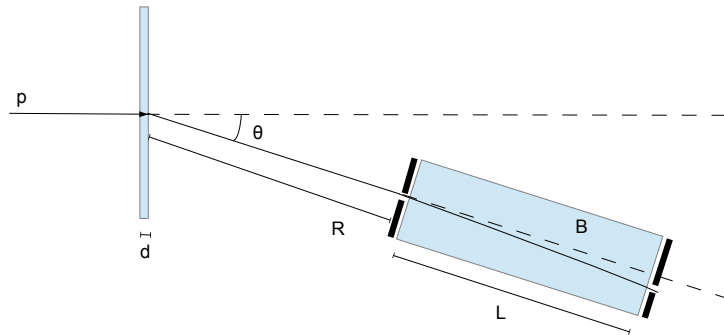


Figure 1:

**Soluzione:**

- a. La rate di protoni incidenti è:

$$\frac{dN_p}{dt} = \frac{I}{e} = 1.25 \times 10^{16} \text{ s}^{-1} \quad (1)$$

La densità di bersagli (nucleoni) è:

$$n_b = \rho \frac{N_A}{A} A = 1.2 \times 10^{24} \text{ cm}^{-3} \quad (2)$$

La sezione d'urto entro l'angolo solido visto dal collimatore è:

$$\sigma = \frac{d\sigma}{d\Omega} \Delta\Omega = \frac{d\sigma}{d\Omega} \frac{\pi(D/2)^2}{R^2} = 7.9 \times 10^{23} \text{ cm}^{-32} \quad (3)$$

La rate di pioni che attraversa il primo collimatore è quindi:

$$\frac{dN}{dt} = \frac{dN_p}{dt} \cdot n_b \cdot \sigma \cdot d = 1.2 \times 10^7 \text{ s}^{-1} \quad (4)$$

- b. Il raggio di curvatura per particelle da 500 MeV/c è:

$$R \text{ [m]} = \frac{p \text{ [GeV]}}{0.3 B \text{ [T]}} = 16.7 \text{ m} \quad (5)$$

Con l'approssimazione di piccoli angoli ( $L \ll R$ ) queste particelle escono dal magnete con una deviazione rispetto alla direzione d'ingresso pari a:

$$x = R \left[ 1 - \cos \left( \frac{L}{R} \right) \right] = 3 \text{ cm} \quad (6)$$

che è la distanza a cui deve essere posto il secondo collimatore.

- c. Dobbiamo considerare la deviazione  $x_{\min}$  per particelle di impulso pari a 510 MeV/c e la deviazione  $x_{\max}$  per particelle di impulso pari a 490 MeV/c. Con le stesse formule del punto precedente si ottiene  $x_{\min} = 2.94 \text{ cm}$  e  $x_{\max} = 3.06 \text{ cm}$ . La larghezza del collimatore deve quindi essere  $x_{\max} - x_{\min} = 1.2 \text{ mm}$ .
- d. Con  $p = 500 \text{ MeV/c}$ , le velocità di pioni e muoni sono  $\beta_{\pi} = p/\sqrt{p^2 + m_{\pi}^2} = 0.963$  e  $\beta_{\mu} = 0.978$ . Detta  $D_s$  la distanza tra gli scintillatori, la differenza di tempo di volo è quindi  $\Delta t = L/(c\beta_{\pi}) - L/(c\beta_{\mu}) = 1.47 \text{ ns}$  e la risoluzione necessaria è  $\sigma_t = \Delta t/3 = 0.49 \text{ ns}$ .

3. Stabilire quali delle reazioni e decadimenti sotto indicati sono permessi e quali sono proibiti. Per quelli proibiti, indicare tutti i numeri quantici (o le leggi di conservazione) che sono violati. Per quelli permessi, indicare la forza che media l'interazione.

- |                                                      |                                                                           |
|------------------------------------------------------|---------------------------------------------------------------------------|
| a) $\pi^+ + p \rightarrow \Delta^+ + K^0$            | g) $\Lambda \rightarrow \Xi^+ + \gamma$                                   |
| b) $\bar{p} + p \rightarrow \Xi^0$                   | h) ${}^{14}_6\text{C} \rightarrow {}^{15}_7\text{Li} + e^- + \bar{\nu}_e$ |
| c) $\mu^+ + e^- \rightarrow \bar{\nu}_{\mu} + \nu_e$ | i) $\Omega^- \rightarrow \Sigma^0 + K^-$                                  |
| d) $\gamma + n \rightarrow n + \pi^0$                | l) $\eta \rightarrow e^- + K^-$                                           |
| e) $K^- + n \rightarrow \Xi^- + \bar{K}^0$           | m) $\pi^+ \rightarrow e^+ + \nu_e$                                        |
| f) $e^+ + e^- \rightarrow \Sigma^+ + \Sigma^-$       | n) $n \rightarrow p + \mu^- + \nu_{\mu}$                                  |

**Soluzione:**

- |                           |                     |
|---------------------------|---------------------|
| a) No: Q, S               | g) No: M, Q, S      |
| b) No: B, quadrimpulso, S | h) No: B, M         |
| c) Sì debole              | i) No: M            |
| d) Sì elettromagnetica    | l) No: $L_e$ , Q    |
| e) No: $ \Delta S =2$     | m) Sì debole        |
| f) No: B, $ \Delta S =2$  | n) No: M, $L_{\mu}$ |